

## RÉSUMÉ

L'auteur est d'avis que le coefficient de corrélation entre deux variables doit être calculé non entre les écarts de leur valeur moyenne, mais entre les écarts de deux variables par rapport aux lignes droites ou courbes qui présentent la tendance de ces variables calculées par la méthode de moindres carrés.

**ΦΥΣΙΚΟΧΗΜΕΙΑ.** — **Φασικὰ διαγράμματα ὀξεικοῦ ὀξέος καὶ φυτικῶν ἔλαιων.**

**II. βαμβακέλαιον καὶ ἡλιέλαιον,** ὑπὸ Ἐμμαν. Βογιατζάκη<sup>\*</sup>. <sup>2</sup>Ανεκοινώθη ὑπὸ τοῦ κ. Ἐμμ. Ἐμμανουήλ.

## ΕΙΣΑΓΩΓΗ

Τὰ δεδομένα περὶ τῆς διαλυτότητος τῶν ἔλαιων εἰς διάφορα διαλυτικὰ εἶναι δόλιγα καὶ αὐτὰ ἔτι τὰ ὑπάρχοντα στεροῦνται ἐπαρκοῦς ἀκριβείας<sup>1</sup>. Παρὰ τοῦτο ὅμως αἱ γνώσεις ἡμῶν περὶ τῶν διαφόρων διαλυτικῶν, καὶ ἵδιως ἐκείνων τὰ ὅποια μὲ τὰ φυτικὰ ἔλαια σχηματίζουν ζεύγη μὲ μικρὸν ἀμοιβαίαν διαλυτότητα, ἀρχῆς<sup>2</sup> οὐν ν̄ ἀποκτοῦν βιομηχανικὸν ἐνδιαφέρον, διότι ὁ θερμικὸς ἀπολογισμὸς κατὰ τὸν A. C. Beckel καὶ τοὺς συνεργάτας του<sup>3</sup>, παρὰ τὴν ὑψηλὴν λανθάνουσαν θερμότητα τοῦ ὑπὸ αὐτῶν χρησιμοποιουμένου διαλυτικοῦ παρουσιάζεται κατὰ τοὺς γενομένους ὑπολογισμοὺς οἰκονομικώτερος. Πλὴν τούτου διὰ τῆς μεθόδου ταύτης καὶ τὰ λαμβανόμενα προϊόντα εἶναι καλυτέρας ποιότητος, προσέτι δὲ καὶ νέα προϊόντα κατέστη δυνατὸν νὰ παραχθοῦν.

Κατὰ τὰ τελευταῖα ἔτη ἔγιναν πολλαὶ ἔρευναι ἐπὶ τοῦ θέματος τούτου παρὰ διαφόρων ἔρευνητῶν<sup>4</sup> διὰ τῆς χρησιμοποιήσεως τῆς ἴσοποτυλικῆς ἀλκοόλης ὡς διαλυτικοῦ ἐν μείγματι μὲ ὄδωρ ἢ ἀκετόνην.

Τὸ ἔλαιον τὸ ὅποιον ἐμελετήθη λεπτομερέστερον ἵδιως εἰς τὰς Ἡνωμένας Πολιτείες τῆς Ἀμερικῆς εἶναι τὸ βαμβακέλαιον, καθ' ὃσον ἀποτελεῖ τοῦτο μίαν

\* EMM. VOJATZAKIS, Diagrammes des phases d'acide acétique et d'huiles d'olive.  
II. Huile de coton et huile de tournesol.

<sup>1</sup> Al. E. Bailey, Industrial oil and fat products, p. 71. Interscience N. Y. 1945.

<sup>2</sup> A. C. Beckel, P. A. Belter, and A. K. Smith, J.A.O.C.S., 25, 10 - 11 (1948) U.S. Patent secretary of Agriculture 2, 445, 931 (1948).

<sup>3</sup> W. D. Harris, F. F. Bishop, C. M. Lyman, and R. Helpert, J. A. O. C. S., 24 370 - 375 (1947).

<sup>4</sup> W. W. Meinke, B. R. Holland, and W. D. Harris, J. A. O. S., 26, 532 - 534 (1949).

<sup>5</sup> W. D. Harris, J. W. Hayward, and R. A. Lamb, J. A. O. C. S., 26, 719 - 723 (1949). W. D. Harris, and J. W. Hayward, ibid, 273 - 275, (1950).

άπὸ τὰς σπουδαιοτέρας λιπαρὰς ὥλας τῆς χώρας ταύτης. Ἡ παραγωγή του γίνεται εἰς τὸ μεγαλύτερον ποσοστὸν διὰ πιέσεως, μὲ τὸ μέγα μειονέκτημα τῆς συγκρατήσεως ποσότητος 4—5% ἐλαίου εἰς τὸν πλακοῦντα, παρὰ τὰς ἐφαρμοσθείσας ἐσχάτως ὑψηλὰς πιέσεις.

Πᾶσαι αἱ προσπάθειαι αἱ ὅποιαι ἐγένοντο κατὰ διαφόρους περιόδους διὰ τὴν ἀπόληψίν του δι᾽ ἐκχυλίσεως προσέκρουν εἰς ὡρισμένας δυσκολίας· μεταξὺ τούτων ἡ σπουδαιοτέρα εἶναι ὅτι ἡ ὁμάς τῶν ἐνώσεων τῆς γκοσσυπόλης παραμένει εἰς τὸν πλακοῦντα κατὰ τὸ μεγαλύτερον ποσοστόν, καθιστᾶσα οὕτω τοῦτον ἐπικίνδυνον\* ὡς τροφήν<sup>1</sup>. Καὶ ἡ ὑπὸ τοῦ ἐλαίου ὅμως παραλαμβανομένη χρωστικὴ καθιστᾷ τοῦτο σταθερῶς ἐρυθρόν, δυσκόλως ἀποχρωματιζόμενον κατὰ τὴν περαιτέρω κατεργασίαν. Ἀντιθέτως εἰς τὴν διὰ πιέσεως μέθοδον ἡ χρωστικὴ τῆς γκοσσυπόλης μερικῶς ἀποσυντίθεται κατὰ τὴν προθέρμανσιν τοῦ βαμβακοσπόρου, ὡς δὲ ἀπέδειξεν δ. *Lyman*<sup>2</sup> δι᾽ ἐψήσεως ἐπὶ 90' εἰς 122° C. ἡ ἐνεργὸς γκοσσυπόλη εἰς τὸν πλακοῦντα κατέρχεται εἰς 0.02%. Μεταγενέστεραι ἔρευναι ὑπὸ τοῦ *Boatner* καὶ τῶν συνεργατῶν του<sup>3</sup> ἀπέδειξαν δι᾽ ἐψήσεως μετατροπὴν τῆς γκοσσυπόλης εἰς γκοσσυκαρουσίνην καὶ γκοσσυπουρούσίνην. Ἡ ταχύτης ἔξαφανίσεως τῆς ἐλευθέρας γκοσσυπόλης κατὰ τὴν ἔψησιν εἰς τὴν δι<sup>4</sup> ἐκθλίψεως μέθοδον ἀκολουθεῖ τὴν ἔξισωσιν τῶν δευτέρας τάξεως ἀντιδράσεων κατὰ τὸν *G. H. Gribbins*<sup>4</sup>.

Παρὰ ταῦτα ὅμως κατὰ τὴν μέθοδον ταύτην πλεῖστα συστατικὰ τὰ ὅποια θὰ ἦτο δυνατὸν ν̄ ἀποβοῦν χρήσιμα, ἀλλοιοῦνται ἢ καὶ καταστρέφονται κατὰ τὴν ἔψησιν, ὡς πρωτεῖναι, φωσφολιπίδια, σάκχαρα, τοκοφερόλαι, στερῖναι κ. ἢ.

Συγκριτικὰ μελέται τῶν πλεονεκτημάτων καὶ τῶν μειονεκτημάτων τῶν δύο μεθόδων ὡδήγησαν ἐσχάτως τὸν *N. H. Moore*<sup>5</sup> εἰς τὸν συνδυασμὸν τῆς κατεργασίας τοῦ βαμβακοσπόρου διὰ τῶν δύο τούτων μεθόδων καὶ μὲ ἀπόδοσιν 9.59% εἰς ἐλαιον. Κατὰ ταύτην γίνεται ἀρχικὴ ἔξαγωγὴ τοῦ ποσοστοῦ 90% τοῦ ἐλαίου διὰ πιέσεως, τὸ δὲ ὑπόλοιπον ἔξαγεται δι᾽ ἐκχυλίσεως μὲ διαλυτικὸν τὸ ἔξανιον. Τὴν

\* Αἱ τελευταῖαι ἔρευναι ἀποδεικνύουν ὅτι ἡ τοξικότης ὀφείλεται οὐ μόνον εἰς τὴν γκοσσυπόλην καὶ γκοσσυπουρούσίνην ἀλλ' ἐπίσης εἰς ἓν ἄλλο ἢ ἄλλα συνθετικά, τὰ ὅποια ἡ εἶναι τοξικά εἰσαγόντων τὴν φυσιολογικὴν δρᾶσιν τῆς γκοσσυπόλης (*Ed. Eagle, C. Hall, L. Castillon, C. Boatner Miller, J.A.O.C.S.*, 27, 300—303 (1950).

<sup>1</sup> *Mozgov, I. E. Veterinarya*, 23, 38—42 1946, C. A., 40, 7393 (1946).

<sup>2</sup> *C. M. Lyman, B. R. Holland and F. Hale, Ind. Eng. Chem.*, 35, 188—190 (1944).

<sup>3</sup> *C. H. Boatner, C. M. O'Hall, R. I. Conder, L. E. Castillon, and M. C. Curet, J.A.O.C.S.*, 24, 97—106 (1947).

<sup>4</sup> *G. H. Gribbins, J.A.O.C.S.*, 28, 41—45 (1951).

<sup>5</sup> *Oleagineux*, 7, 80 (1952).

καταλληλότητα τούτου ώς διαλυτικοῦ, ίδίως διὰ τὸ βαμβακέλαιον, ἀποδεικνύει ὁ *P. H. Eaves* καὶ οἱ συνεργάται του<sup>1</sup> διὰ διαφόρων διαλυτικῶν εἰς πρόσφατον συγκριτικὴν μελέτην των.

Ἡ τελευταία αὕτη ὅμως συνδεδυασμένη μέθοδος ἐπεξεργασίας προϋποθέτει διπλᾶς ἔγκαταστάσεις πιέσεως καὶ ἐκχυλίσεως, ἐγκλείει δὲ συνάμα μεγάλους κινδύνους πυρκαϊᾶς λόγω τῆς πτητικότητος τοῦ ἔξανίου.

Ἐχοντες ὑπὸδψει τὰ ἀνωτέρω καὶ ἐν συνεχείᾳ προηγουμένης μελέτης ἡμῶν<sup>2</sup>, ἐσκέφθμεν ὅτι θὰ παρουσίαζεν ἐνδιαφέρον τὸ μελέτη τοῦ ζεύγους βαμβακελαίου – ὀξεικοῦ ὀξέος, ὅπως καὶ ἄλλων σπορελαίων. Οὗτως εἰς τὴν παροῦσαν ἐργασίαν μελετῶμεν: 1) Τὰ δεδομένα τῆς διαλυτότητος τοῦ βαμβακελαίου καὶ ήλιελαίου μὲ δέξεικὸν ὀξὲν διαφόρου περιεκτικότητος, 2) Τὴν ἐπίδρασιν: α') τῆς ὀξύτητος τῶν ἔλαιων καὶ β') τοῦ ὕδατος ἐπὶ τῶν δεδομένων διαλυτότητος\*\*.

#### ΜΕΘΟΔΟΣ ΕΡΓΑΣΙΑΣ

Διὰ τὸν προσδιορισμὸν τῶν δύο σκελῶν τῶν καμπυλῶν λαμβάνομεν μίαν σταθερὰν κατ’ ὅγκον ποσότητα τοῦ ἑνὸς τῶν συνθετικῶν καὶ προσθέτομεν βαθμιαίως τὸ δευτερον\*\*\*. Ἡ θερμοκρασία μείζεως καθορίζεται ἀπὸ τὴν ἔξαφάνισιν κατὰ τὴν θέρμανσιν ἥτις ἐμφάνισιν κατὰ τὴν ψύξιν θολώματος. Ἡ πλήρης διασπορὰ τῆς μιᾶς φάσεως ἐντὸς τῆς ἄλλης, ἥτις ἀποφυγὴ ὑπερβολικῆς ψύξεως καὶ ἀναθερμάνσεως ὡς καὶ ἥτις χοησιμοποίησις τῆς αὐτῆς προελεύσεως καὶ μερίδος πρώτων ὑλῶν εἶναι ὅροι ἀπαραίτητοι διὰ τὴν ἀκρίβειαν τῶν ἀποτελεσμάτων. Ὁπως ἀποφευχθῆ διαφάγων τῆς ὀξύτητος ἔλήφθησαν ἔλαια ἔξουδετερωθέντα καὶ ἔξευγενισθέντα. Ως πρὸς τὸν παράγοντα τῆς ύγρασίας, δ ὅποιος ἐπίσης ἀσκεῖ τὴν μεγαλυτέραν ἐπίδρασιν ἐπὶ τοῦ φαινομένου, τὰ ἔλαια \*\*\*\* ἔλήφθησαν ἀπὸ εὐθείας ἐκ τοῦ ἀποσμητοῦ, ὅπου τοῦτο ἦτο δυνατόν, κατειργάσθησαν δὲ καὶ ὡς ἐκ περισ-

<sup>1</sup> *P. H. Eaves, L. J. Molaison, C. C. Black, A. J. Crovetto, and E. L. D'Aquin*, J.A.O.C.S., 29, 88 - 94 (1952).

<sup>2</sup> *E. Βογιατζάκης*, Φασικὰ διαγράμματα ὀξεικοῦ ὀξέος καὶ φυτικῶν ἔλαιων, Πρακτικὰ τῆς Ἀκαδημίας Ἀθηνῶν 26, (1951), 111 κ. ἔξ.

<sup>3</sup> \* \* \* Ἐχομεν ὑπὸδψει τὰ ἀποτελέσματα τῆς παρούσης ἐργασίας νὰ ἀποτελέσουν τὴν βάσιν δι τὸ ίδιαιτέρων μελέτην πρακτικῆς ἐφαρμογῆς αὐτῶν διὰ τὴν ἀπὸ εὐθείας ἔξαγωγὴν τῶν ἔλαιων ἐκ τῶν σπόρων.

<sup>4</sup> \*\*\* Ἡ ἔκφρασις τῶν ἀποτελεσμάτων ὡς πρὸς τὴν συγκέντρωσιν γίνεται συμβατικῶς κατ’ ὅγκον, χάριν εὐκολίας, ἐφ’ ὅσον τοῦτο ἄλλωστε δὲν μεταβάλλει τὴν προείσαν τοῦ φαινομένου, ἥ δποια καὶ μόνον ἔχει σημασίαν εἰς τὴν προκειμένην περίπτωσιν.

<sup>5</sup> \*\*\*\* Οἰκοθεν νοεῖται ὅτι αἱ διδόμεναι τιμαὶ ἀντιπροσωπεύουν μόνον ταῦτα.

σοῦ συμφώνως πρὸς τὴν ὑπὸ τῶν *A. Smith* καὶ *F. Wechter*<sup>1</sup> ὑποδεικνυομένην τεχνικήν, ἦτοι ἐθεομάνθησαν εἰς 80° καὶ κατόπιν διεβιβάσθη ἄζωτον. Παρόμειναν ἐν συνεχείᾳ ὑπὸ κενὸν ἐντὸς ἔνδος ἔνδος γλωσιούχου ἀσβεστίου ἐπὶ 24ωρον, πρὸν ἀρχίσουν αἱ μετρήσεις, καθ' ὅλον δὲ τὸ διάστημα τῶν μετρήσεων ἐλαμβάνετο πρόνοια γὰ παραμένοντα μακρὰ τῆς ὑγρασίας.

HNAE

ἐμφαίνων τὰς σταθερὰς τῶν ἐξετασθέντων ἐλαίων. (I

*Ελασσ.	Ειδ. βάρος $D_4^{20}$	Όξύτηξ	Αρ. σαπωνο- ποιήσεως	Αρ. ιωδίου	Δ. διαθλάσεως 20° C
Βαμβακέλαιον . . .	0.9169	0.27	191	112	1.4717
Ηλιέλαιον . . . .	0.9175	0.32	190.5	123	1.4731

<sup>1</sup> A. Smith, F. Wechter, J.A.O.C.S., 27, 378-380 (1950).

## Π Ι Ν Α Ε Ι.

εμφαίνων τὴν μεταβολὴν τοῦ σημείου μείζεως βαμβακελαίου καὶ δξεικοῦ δξέος.

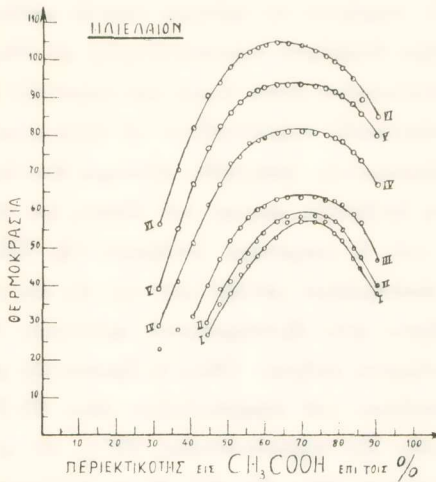
Περιεκτικότης εἰς δξεικὸν δξὸν ἐπὶ %	Διὰ δξεικὸν δξὸν 98 % κρίσματος θερμοκρασία	Διὰ δξεικὸν δξὸν 98,5 % κρίσματος θερμοκρασία	Διὰ δξεικὸν δξὸν 99 % κρίσματος θερμοκρασία	Διὰ δξεικὸν 99,5 % κρίσματος θερμοκρασία	Διὰ 99,5 %	δξεικὸν δξὸν
					+ 1 % ἐλαῖκὸν δξὸν κρίσματος θερμοκρασία	+ 2 % ἐλαῖκὸν δξὸν κρίσματος θερμοκρασία
31.6	56.0	39.0	29.0	23.0	—	—
36.3	70.5	55.0	41.0	28.0	—	—
40.6	82.0	67.0	51.5	31.5	—	—
44.4	90.5	76.5	61.5	40.0	30.0	27.0
47.7	94.0	82.5	67.0	47.0	39.0	35.0
50.6	98.0	86.0	72.5	52.0	41.0	38.0
53.2	101.5	89.0	74.5	55.5	46.5	43.0
55.6	102.0	91.0	78.0	58.0	48.5	45.0
57.8	103.0	92.0	78.5	60.0	51.5	48.0
59.7	104.0	92.5	79.0	61.0	54.0	50.0
61.5	104.5	93.5	80.0	62.5	55.5	51.5
63.1	104.5	93.5	80.5	63.0	57.0	53.0
64.3	104.5	93.5	81.0	63.5	58.0	54.0
65.9	104.5	93.5	81.0	63.5	58.5	57.0
67.2	104.5	93.5	81.0	63.5	58.5	57.0
68.4	104.5	93.5	81.0	63.5	58.5	57.0
69.5	104.0	93.5	81.0	63.5	58.5	57.0
73.3	102.5	93.0	80.5	63.5	58.5	57.0
76.1	101.0	92.5	80.0	63.0	58.5	57.0
78.5	99.5	91.5	79.5	62.5	57.0	54.0
80.4	98.0	91.0	78.5	61.5	55.0	52.5
82.0	96.0	90.0	77.5	61.0	53.0	51.0
83.4	95.0	88.5	75.5	59.0	50.0	47.5
84.7	92.0	87.0	74.5	58.0	49.0	46.0
85.6	89.5	86.0	73.5	57.0	48.0	45.0
90.0	85.0	80.0	67.0	47.0	40.0	38.0

## Σ Ι Ν Α Η Ι I.

ξυμφαίνων τὴν μεταβολὴν τοῦ σημείου μείξεως τοῦ ἡλιελαίου καὶ δξεικοῦ δξέος.

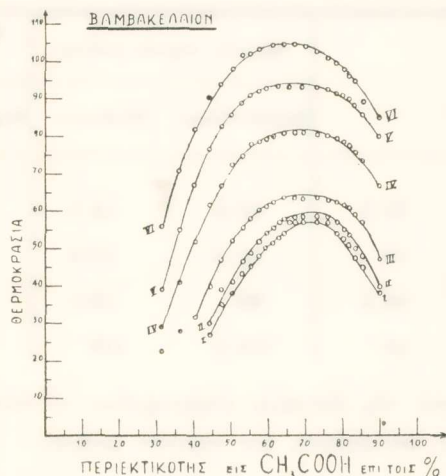
Περιεκτικότης εἰς δξεικὸν δξὸν κρίσιμος θερμοκρασία	Διὰ δξεικὸν δξὸν 98 % κρίσιμος θερμοκρασία	Διὰ δξεικὸν δξὸν 98.5 % κρίσιμος θερμοκρασία	Διὰ δξεικὸν δξὸν 99 % κρίσιμος θερμοκρασία	Διὰ δξεικὸν δξὸν 99.5 % κρίσιμος θερμοκρασία	Διὰ 99.5 % δξεικὸν δξὸν	
					+ 1 % ἐλαῖκὸν δξὸν κρίσιμος θερμοκρασία	+ 2 % ἐλαῖκὸν δξὸν κρίσιμος θερμοκρασία
31.6	53.5	39.0	35.0	27.0	—	—
36.3	70.0	58.0	41.0	31.0	—	—
40.6	80.0	67.5	52.0	37.0	29.0	23.0
44.4	91.0	76.0	61.0	42.5	37.5	32.5
47.7	94.5	83.0	68.0	49.0	43.0	38.5
50.6	100.0	85.5	72.0	53.0	46.0	41.5
53.2	102.5	89.0	76.0	57.0	49.5	45.0
55.6	104.0	90.5	78.0	60.0	54.0	49.0
59.7	104.5	92.0	80.0	61.0	56.0	50.5
61.5	105.0	92.5	81.0	62.0	57.0	52.0
63.5	105.0	94.5	82.0	63.0	58.5	54.5
64.3	105.0	94.5	82.0	63.5	59.0	54.5
65.9	104.5	94.5	82.0	64.0	59.0	54.5
67.2	104.0	94.0	82.0	64.5	59.0	54.5
68.4	103.5	93.5	82.0	64.5	59.0	54.5
69.5	103.0	93.2	81.5	64.5	59.0	54.5
73.3	102.0	93.0	81.5	64.5	58.5	54.0
76.1	100.0	91.0	80.5	64.5	58.0	53.0
78.5	98.5	89.5	79.5	64.5	56.5	51.0
80.4	96.0	89.0	78.0	63.5	54.0	48.5
82.0	95.0	88.0	77.0	62.0	53.0	46.5
83.4	93.0	87.0	75.0	61.0	51.0	45.0
84.7	91.5	84.0	72.0	60.0	49.0	43.0
85.6	90.0	83.0	71.0	58.0	48.5	42.5
90.0	81.5	78.0	62.0	51.0	41.0	35.0

## Διαγράμματα διαλυτότητος όξεικου όξεος και βαμβακελαίου.



I.	Όξεικὸν ὄξενον	99.5 %	ἐξηγενισμένον	βαμβακέλαιον	+ 2 %	ἐλαϊκὸν ὄξενον	99.5 %
II.	>	99.5 %	>	>	+ 1 %	>	>
III.	>	99.5 %	>	>			
IV.	>	99 %	>	>			
V.	>	98.5 %	>	>			
VI.	>	98.0 %	>	>			

## Διαγράμματα διαλυτότητος όξεικου όξεος και ήλιελαίου.



I.	Όξεικὸν ὄξενον	99.5 %	ἐξηγενισμένον	ήλιελαιον	+ 2 %	ἐλαϊκὸν ὄξενον	99.5 %
II.	>	99.5 %	>	>	+ 1 %	>	>
III.	>	99.5 %	>	>			
IV.	>	99.0 %	>	>			
V.	>	98.5 %	>	>			
VI.	>	98.0 %	>	>			

## ΕΡΕΥΝΑ ΤΩΝ ΑΠΟΤΕΛΕΣΜΑΤΩΝ

Τὰ δεδομένα μᾶς παρέχουν τὰ κρίσιμα σημεῖα μείζεως τοῦ βαμβακελαίου καὶ ἡλιελαίου εἰς τέσσαρα διαφόρου περιεκτικότητος εἰς ὕδωρ διαιλύματα δέξιον δέξιος διὰ καθαρὰ ἔξηγενισμένα ἔλαια δπως καὶ παρουσίᾳ ἔλαικον δέξιος.

Αἱ μορφαὶ τῶν καμπυλῶν παρουσιάζουν τὰ αὐτὰ χαρακτηριστικά, τὰ ὅποια παρουσίασε καὶ τὸ προηγούμενως ἔρευνηθὲν σύστημα ἔλαιελαίου καὶ δέξιον δέξιος. Παρατηρεῖται ἡ μεγάλη ἐπίδρασις κυρίως τοῦ ὕδατος ἐπὶ τῆς μεταβολῆς τοῦ κρισίμου σημείου μείζεως καὶ ἡ μικροτέρα ἐπίδρασις τῆς δέξιοτητος. Συγκρινόμεναι αἱ καμπύλαι τῶν δύο συστημάτων μεταξύ των καὶ εἰς τὰς αὐτὰς περιεκτικότητας δέξιον δέξιος παρουσιάζουν μίαν ἀξιοσημείωτον ποσοτικὴν ἀναλογίαν εἰς τὴν μετάθεσιν τοῦ μεγίστου σημείου μείζεως. Οὕτω δὲ δέξιον περιεκτικότητος 99.5%, τὸ μέγιστον σημεῖον μείζεως τοῦ βαμβακελαίου εἶναι 63.5° C., διὰ δὲ τὸ ἡλιέλαιον 64.5° C. Δι᾽ δέξιον δέξιον περιεκτικότητος 99%, τὸ μέγιστον σημεῖον μείζεως διὰ μὲν τὸ βαμβακέλαιον εἶναι 81, διὰ δὲ τὸ ἡλιέλαιον 82°, C°. ἢτοι παρατηροῦμεν μετάθεσιν τοῦ μεγίστου σημείου μείζεως κατὰ 17.5° C. διὰ τὸ βαμβακέλαιον, τὴν αὐτὴν δὲ καὶ διὰ τὸ ἡλιέλαιον. Τὸ αὐτὸν ἔξι ἄλλου συμβαίνει περίπου καὶ τὰς λοιπὰς εἰς καμπύλας ὡς προκύπτει ἐκ τοῦ παρατιθεμένου πίνακος.

## Π Ι Ν Α Μ Ι Ι Ι.

ἔμφατών τὰς μεταβολὰς τοῦ μεγίστου σημείου μείζεως.

		Μέγιστα σημεῖα μείζεως		Μετάθεσις μεγίστου σημείου μείζεως	
		Βαμβακέλαιον	Ἡλιέλαιον	Βαμβακέλαιον	Ἡλιέλαιον
Οξεικὸν δέξιον % . .	99.5	63.5	64.5	—	—
»      »      » . .	99	81.0	82.0	17.5	17.5
»      »      » . .	98.5	93	93.5	12	11.5
»      »      » . .	98	104.5	105.	11.5	11.5

Ὦς πρὸς τὴν ἐπίδρασιν τῆς δέξιοτητος παρατηρεῖται τὸ ἀντίστροφον τῆς ἐπιδράσεως τοῦ ὕδατος· ἢτοι καταβίβασις τοῦ σημείου μείζεως.

## ΕΞΗΓΗΣΙΣ ΤΩΝ ΑΠΟΤΕΛΕΣΜΑΤΩΝ

Γνωρίζομεν γενικῶς<sup>1</sup> ὅτι μόρια, τῶν ὅποιων ἡ ἀμοιβαία ἔλξις αὐξάνει λόγῳ τῆς παρουσίας ὑδρογονικῶν δεσμῶν, ἀνθίσταται εἰς τὴν εἰσδοχὴν μορίων ἐνὸς μὴ

<sup>1</sup> J. Hildebrand and R. Scott p. 263 Solubility of non electrolytes Reinhold N.Y. 1950.

πολικοῦ ὑγροῦ. Συνεπῶς ἡ διαλυτότης εἰς τὸ ὕδωρ, τὸ ὅποιον ἐμφανίζει τὴν μεγαλυτέραν τοῦ εἴδους αὐτοῦ ἔλξιν ἀπὸ οἰονδήποτε ἄλλο ὑγρόν, ἐνὸς ἄλλου συνθετικοῦ ἐπηρεάζεται ισχυρῶς ἀπὸ τὴν ἴκανότητά του νὰ σχηματίζῃ ὑδρογονικοὺς δεσμοὺς ἢ ἄλλως νὰ ἴονται.

Ἐπίσης εἶναι γνωστὸν<sup>1</sup> ὅτι ἡ προσθήκη ξένης οὐσίας εἰς σύστημα δύο συνθετικῶν ὑγρῶν μεταβάλλει τοῦτο εἰς σύστημα τριῶν συνθετικῶν, ἡ δὲ ἀμοιβαία διαλυτότης τῶν ὑγρῶν ἔξαρταται ἀπὸ τὴν φύσιν καὶ τὴν ποσότητα τοῦ προστιθεμένου ὑλικοῦ. Ἐὰν τοῦτο εἶναι διαλυτὸν εἰς ἐν μόνον ἐκ τῶν δύο ὑγρῶν, τότε εὑρέθη ὅτι ἡ διαλυτότης των ἐλαττοῦται καὶ ἡ κρίσιμος θερμοκρασία ἀνέρχεται π.χ. εἰς τὸ κλασσικὸν παράδειγμα φαινόλης καὶ ὕδατος μία συγκέντρωσις 0,1 Mole χλωριούχου καλίου κατὰ λίτρον ὕδατος ἀναβιβάζει τὴν κρίσιμον θερμοκρασίαν τοῦ διαλύματος κατὰ 8°· ἡ ἐπίσης ἵχνη ὕδατος, τὸ ὅποιον εἶναι διαλυτὸν μόνον εἰς πολικὰ διαλυτικά, προκαλοῦν μίαν ὁξιοσημείωτον αὔξησιν εἰς τὴν κρίσιμον θερμοκρασίαν συστημάτων, τὰ δοῖα περιέχουν ἐν πολικὸν π.χ. ἀλκοόλην ἢ ὁξέαν καὶ ἐν μὴ πολικὸν (ὡς ὑδρογονάνθρακας ἢ διθειάνθρακα) ὑγρόν.

Συνεπῶς ὁ καθορισμὸς τῆς κρίσιμου θερμοκρασίας μείζεως δύναται ν' ἀποτέλεσῃ δείκτην τῆς καθαρότητος τῆς οὐσίας (*L. Grisner*, 1895—96, 1904—06. *D. C. Jones*, 1923). Ὁταν ἡ προστιθεμένη οὐσία διαλύεται εἰς ἀμφότερα τὰ ὑγρά, ἡ κρίσιμος θερμοκρασία μείζεως καταβιβάζεται, ὅπως εἶναι ἡ περίπτωσις τοῦ ἡλεκτρικοῦ ὁξέος, τὸ δοῖον προστίθεται εἰς τὸ σύστημα φαινόλης καὶ ὕδατος.

Εἰς τὴν περίπτωσίν μας, ἔχοντες ὑπὸ δύψει τὸ ἀνωτέρω καὶ τὴν διαφορὰν πολικότητος γλυκερίδων καὶ ὁξέων, παρατηροῦμεν τὰ ἔξῆς:

1) Ἡ προσθήκη ὕδατος εἰς τὰ συστήματα

- α') Βαμβακέλαιον — ὁξεικὸν ὁξέαν
- β') Ἡλιέλαιον — ὁξεικὸν ὁξέαν

τὸ δοῖον διαλύεται μὲν εἰς τὸ ὁξεικὸν ὁξέαν, εἶναι ἀδιάλυτον ὅμως εἰς τὰ γλυκερίδια: συμφώνως πρὸς παρατηρήσεις καὶ προηγουμένων ἐρευνητῶν, ἀναβιβάζει ὡς ἔδει ν' ἀνεμένετο τὴν κρίσιμον θερμοκρασίαν μείζεως τῶν ζευγῶν. Ἡ κατὰ τὸ αὐτὸ περίπου ποσὸν μετάθεσις τοῦ μεγίστου σημείου μείζεως εἰς συνθετικά, μὲ διάφορον ἀναλογίαν τῶν μοριακῶν εἰδῶν, τὰ δοῖα ἀποτελοῦν τὸ ἐν τοὸλάχιστον συνθετικὸν τοῦ ζεύγους, δύναται νὰ ἔξηγηθῇ περίπου ὡς ἔξῆς κατ' ἀνάλογον πρὸς τὸν τοῦ *Hildebrand* τρόπον: Ἡς παραστήσωμεν δι' ἀριθμῶν τὰς σχετικὰς διαλυτότητας εἰς τὸ ὕδωρ, τὸ δοῖον θεωροῦμεν ὡς συνθετικὸν ὑπὸ ἀριθμοῦ 1, τὰ δὲ ἄλλα συνθετικά, τὸ μὲν ἔλαιον διὰ τοῦ ἀριθμοῦ 2 τὸ δὲ ὁξεικὸν ὁξέαν

<sup>1</sup> S. Glasstone Physical chemistry p. 729 Van Nostrand Co N. Y. 1950.

διὰ τοῦ ἀριθμοῦ 2'. Ἀς θεωρήσωμεν ἐν συνεχείᾳ ὅτι διὰ τὸ ὑπὸ ἀριθ. 2 συνθετικὸν αἱ 2—2 δυνάμεις εἶναι αἱ αὐταὶ, πρᾶγμα τὸ ὅποιον βεβαίως δὲν ἀνταποκρίνεται εἰς τὴν πραγματικότητα ἀλλ᾽ εἰς τὴν προκειμένην περίπτωσιν δὲν μεταβάλλει οὐσιωδῶς τὰ δεδομένα. Κατόπιν τούτου αἱ δυνάμεις αἱ ὅποιαι ἐμφανίζονται δρῶσι καὶ εἰς τὰ δύο ζεύγη καὶ τῶν ὅποιών συνάρτησις εἶναι ἡ ἀμοιβαία διαλυτότης εἶναι 1—1, 2—2, 2'—2', 1—2, 1—2', 2—2'.

\*Ἐκ τούτων αἱ 1—1, 2—2 καὶ 2'—2' εἶναι αἱ αὐταὶ καὶ διὰ τὰ δύο ζεύγη, ἐφ' ὃσον χρησιμοποιοῦμεν τὰ ἴδια συνθετικὰ καὶ ἐθέσαμεν ὡς προϋπόθεσιν ὅτι αἱ 2—2 δυνάμεις εἶναι αἱ αὐταὶ καὶ διὰ τὰ 2 εἴδη ἐλαιούχου συνθετικοῦ.

Αἱ δυνάμεις 1—2 εἶναι μεγάλαι καὶ δὲν δύνανται νὰ ὑπερπιδηθοῦν εἰς τὰ δρια εἰς τὰ ὅποια ἔργαζόμεθα ἢ καὶ περαιτέρω ἄνευ φόβου ἀλλοιόσεως τῶν συνθηκῶν. Ή δὲ ποσοτικὴ μεταβολὴ τῶν 2 συνθετικῶν δὲν ἐπηρεάζει αἰσθητῶς ταύτας\*.

Αἱ 1—2' δυνάμεις λόγῳ πλήρους μείξεως τῶν συνθετικῶν παρουσιάζουν ἐνιαίαν κατανομήν, μεταβαλλόμεναι ἐκάστοτε μόνον ἀπὸ τὸ ποσὸν τοῦ προστιθεμένου ὕδατος. Συνεπῶς παραμένουν δρῶσαι αἱ δυνάμεις 2—2', τῶν ὅποιών τὰ ἀποτελέσματα μᾶς παρουσιάζουν αἱ χαραχθεῖσαι καμπύλαι καὶ τῶν ὅποιών ἡ μεταβολὴ εἶναι συνάρτησις μόνον τῶν 1—1 δυνάμεων, αἱ ὅποιαι προστίθενται ἐκάστοτε εἰς τὰς 2'—2' δυνάμεις. Επειδὴ ὅμως προστίθεται πάντοτε τὸ αὐτὸ ποσὸν εἰς ὕδωρ καὶ εἰς τὰ δύο ζεύγη, δέον νὰ ἀναμένεται ἡ αὐτὴ περίπου πάντοτε μετάθεσις μεγίστου καὶ διὰ τὰ δύο ζεύγη.

2) Εἰς τὴν περίπτωσιν τῆς αὐξήσεως τῆς ὁξύτητος διὰ τῆς προσθήκης ἐλαῖκοῦ ὕδεος εἶναι φυσικὸν ν<sup>ο</sup> ἀναμένη τις τὴν καταβίβασιν τῆς κρισίμου θεομοκρασίας μείξεως, δεδομένου ὅτι τὸ τρίτον συνθετικὸν διαλύεται μὲν τελείως εἰς τὰ γλυκερίδια, περισσότερον δὲ ἀπὸ τὰ τελευταῖα εἰς τὸ ὁξεικὸν ὕξυ.

#### ΣΥΜΠΕΡΑΣΜΑ

\*Ἐμελετήθη τὸ σύστημα α') ὁξεικοῦ ὕδεος-βαμβακελαίου β') ὁξεικοῦ ὕδεος-ἡλιελαίου μὲ διαφόρου περιεκτικότητος ὁξεικὸν ὕξυ. Παρέλονται τὰ φασικὰ διαγράμματα τούτων. Δεικνύεται ἡ μεγάλη ἐπίδρασις ἐλαχίστων ποσοστῶν ὕδατος εἰς τὴν ὑψωσιν τοῦ κρισίμου σημείου μείξεως αὐτῶν, ὅπως καὶ ἡ εἰς τὰς αὐτὰς περιοχὰς ἵδια ποσοτικὴ μετάθεσις τοῦ μεγίστου σημείου μείξεως εἰς τὰ δύο συστήματα. Τέλος καθοδίζεται ὅτι ἡ ὁξύτης δρᾷ ἀντιστρόφως πρὸς τὸ ὕδωρ, καταβιβάζουσα τὸ κρίσιμον σημεῖον μείξεως.

\* Πιθανῶς εἰς αὐτάς, ὡς καὶ εἰς τὰς 2—2 δυνάμεις, νὰ ὀφείλωνται αἱ παρατηρούμεναι μικραὶ διαφοραὶ μεταθέσεων τῶν μεγίστων.

## RÉSUMÉ

L'auteur étudie le système a) acide acétique - huile de coton. b) acide acétique - huile de tournesol et construit les diagrammes des phases. Il constate la grande influence de la présence de minimes quantités d'eau sur l'élevation du point critique de miscibilité. De même l'acidité a un effet contraire qui provoque un abaissement du point critique de miscibilité. On note que ce déplacement est constant pour les mêmes régions de températures des deux systèmes étudiés.